

4 - 8 伊豆半島の地殻変動

Crustal Movement in the Izu Peninsula

国土地理院

Geographical Survey Institute

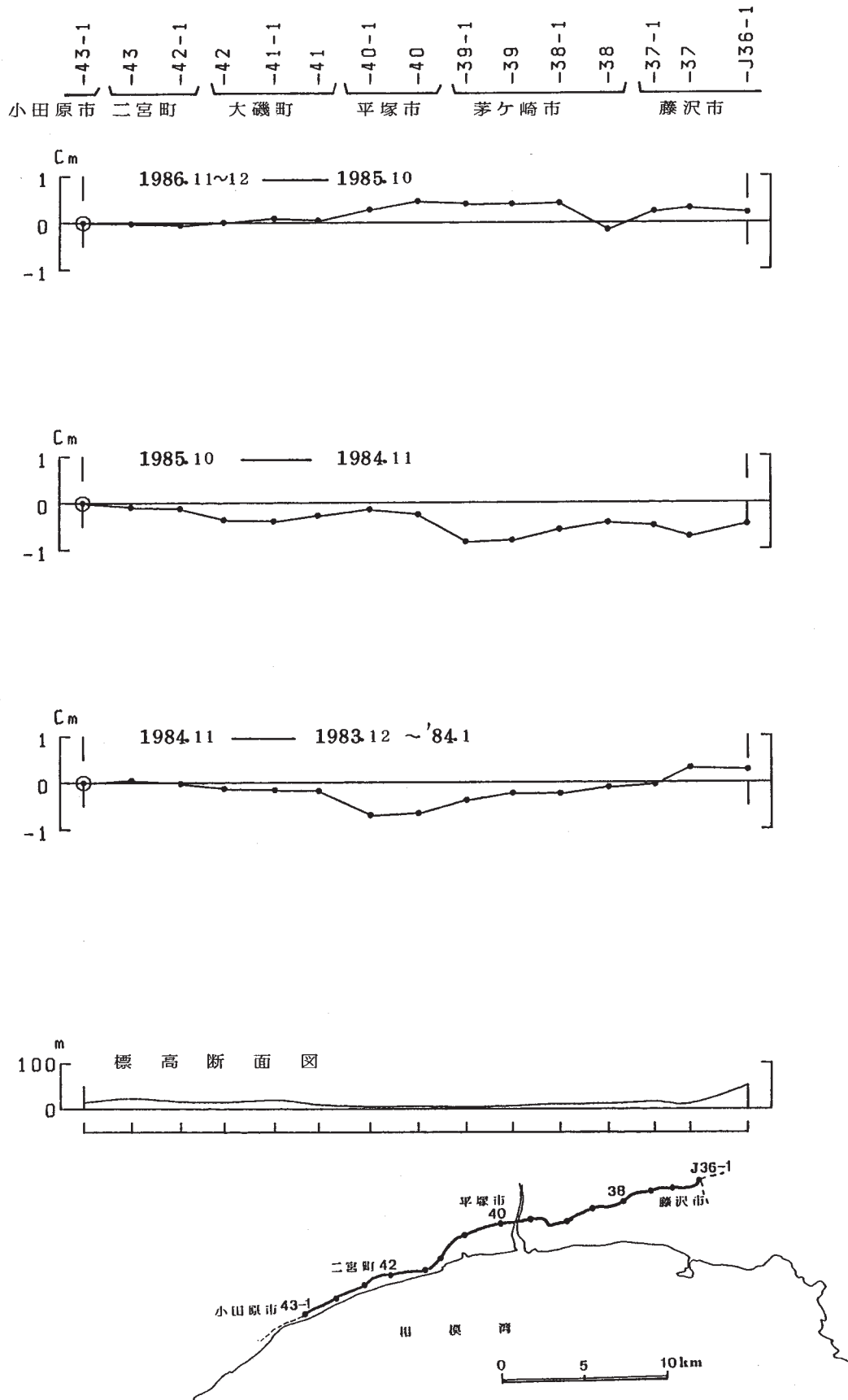
第1図～第5図は1986年10月～11月に行われた伊豆半島における水準測量結果である。伊東駿潮場付近の隆起は依然として続いており、最近半年間の隆起量は約2cmとやや大きい。第6図は伊東、内浦、南伊豆、油壺駿潮場間の月平均潮位差である。1986年10月頃から伊東における隆起速度がやや速くなったように見える。

第7図、第8図は1986年11月～12月に行われた伊豆半島東部における精密変歪測量結果である。測量作業中に伊豆大島の噴火があった。伸長歪の卓越する結果で、伊東付近の隆起に対応する変動と考えられるが、伊豆大島の割れ目噴火による変動が含まれている可能性もある。

第9図、第10図は1986年11月に行われた川奈、網代における精密変歪測量結果である。測量作業中に伊豆大島の噴火があった。大きな伸びは伊東付近の隆起に対応する変動と考えられるが、伊豆大島の割れ目噴火による変動も含まれている可能性がある。

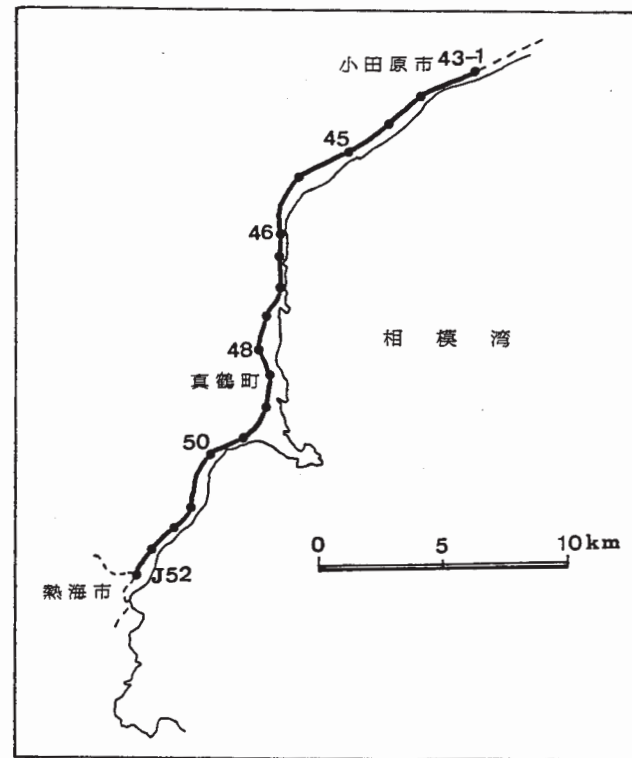
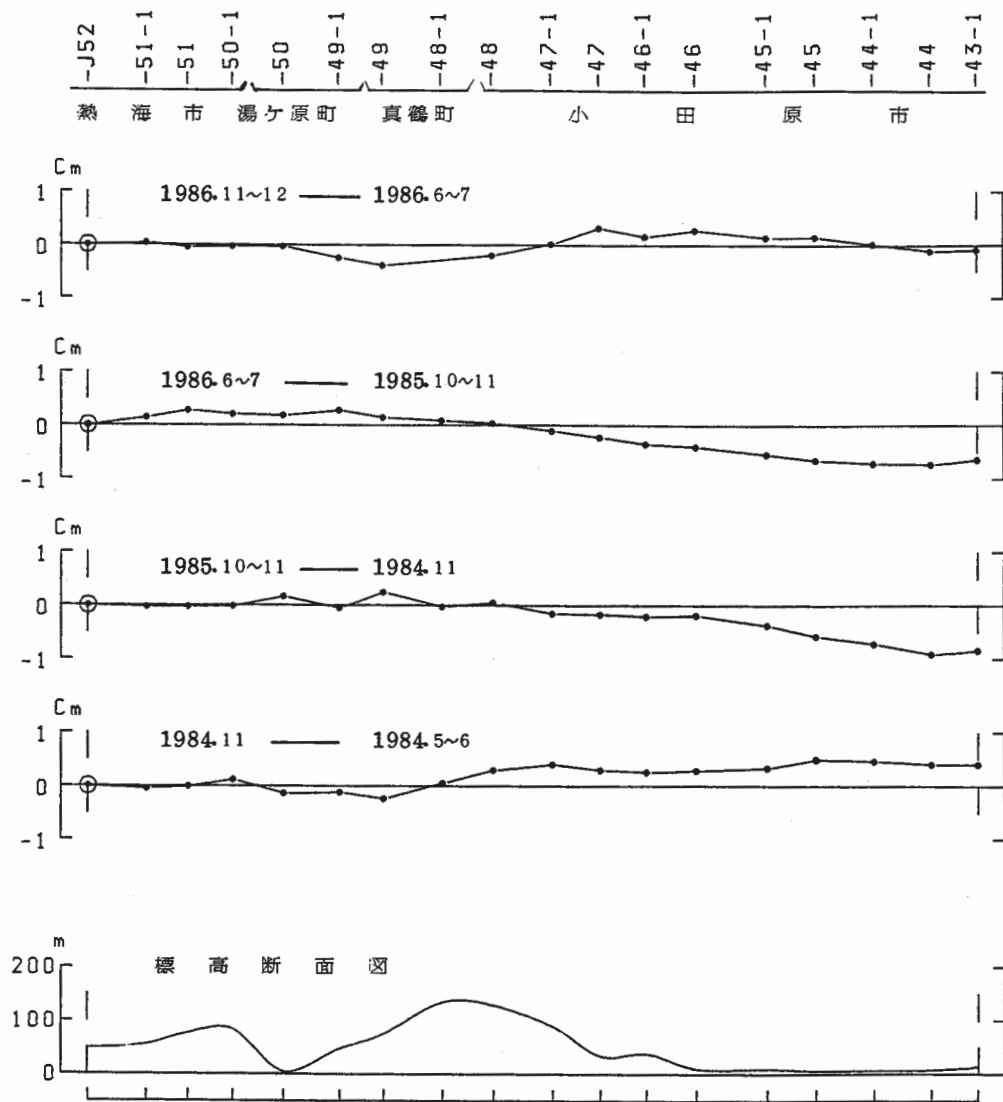
参 考 文 献

- 1) 国土地理院：伊豆半島の地殻変動，連絡会報，**36**（1986），207 - 220.
- 2) 国土地理院：伊豆地方の地殻変動，連絡会報，**37**（1987），224 - 242.



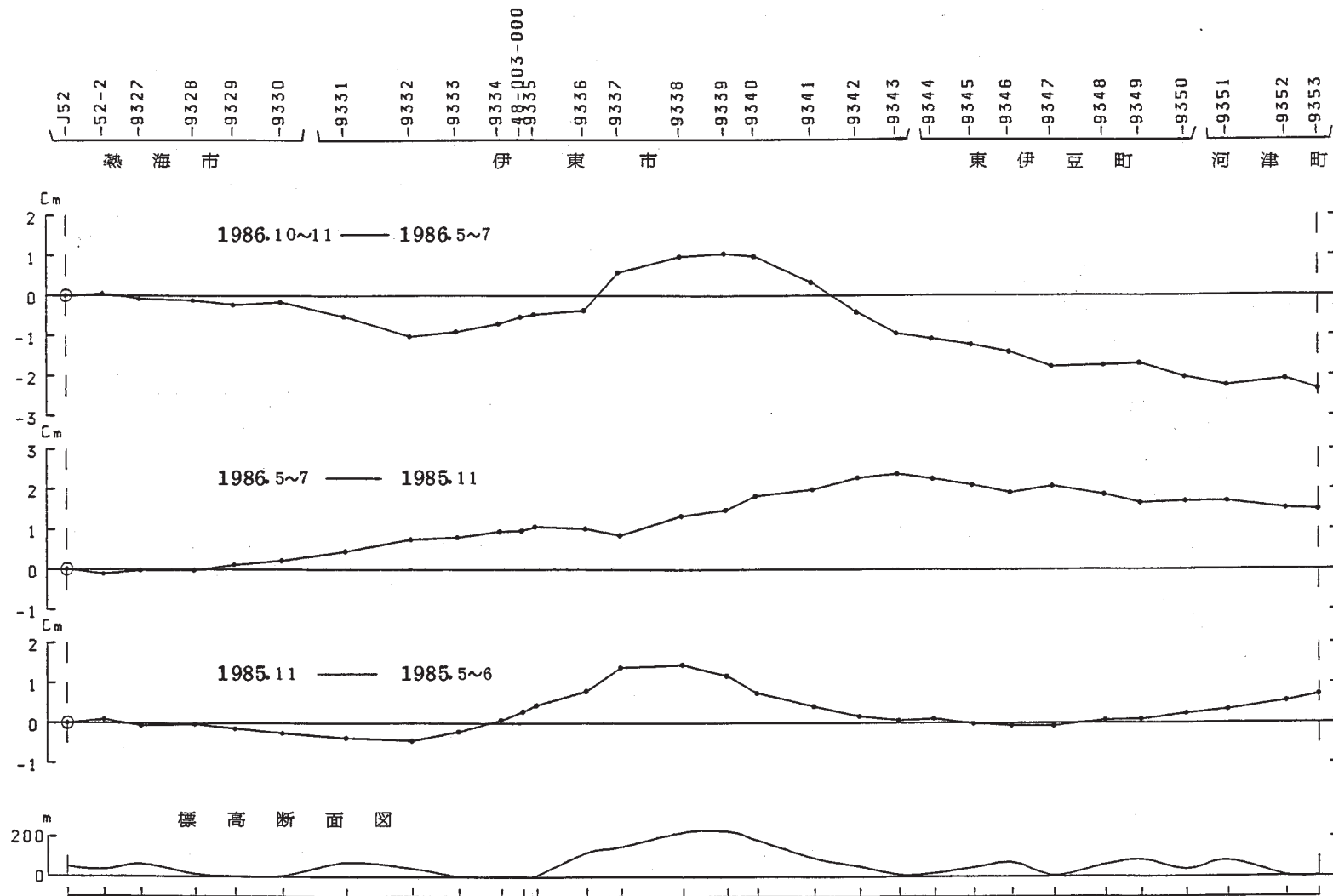
第1図 小田原～藤沢間の上下変動

Fig. 1 Level changes along the route from Odawara to Fujisawa.



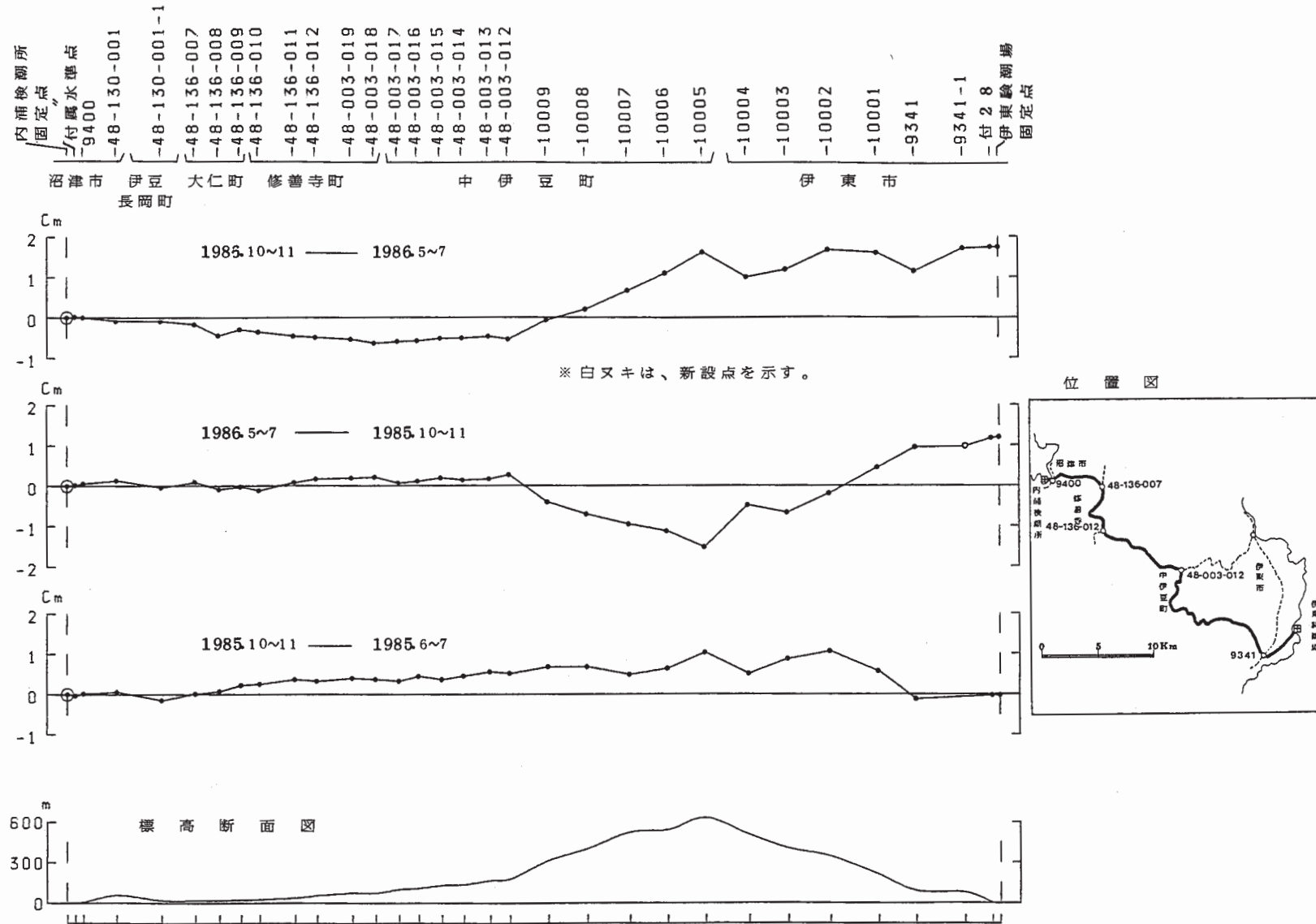
第2図 熱海～小田原間の上下変動

Fig. 2 Level changes along the route from Atami to Odawara.



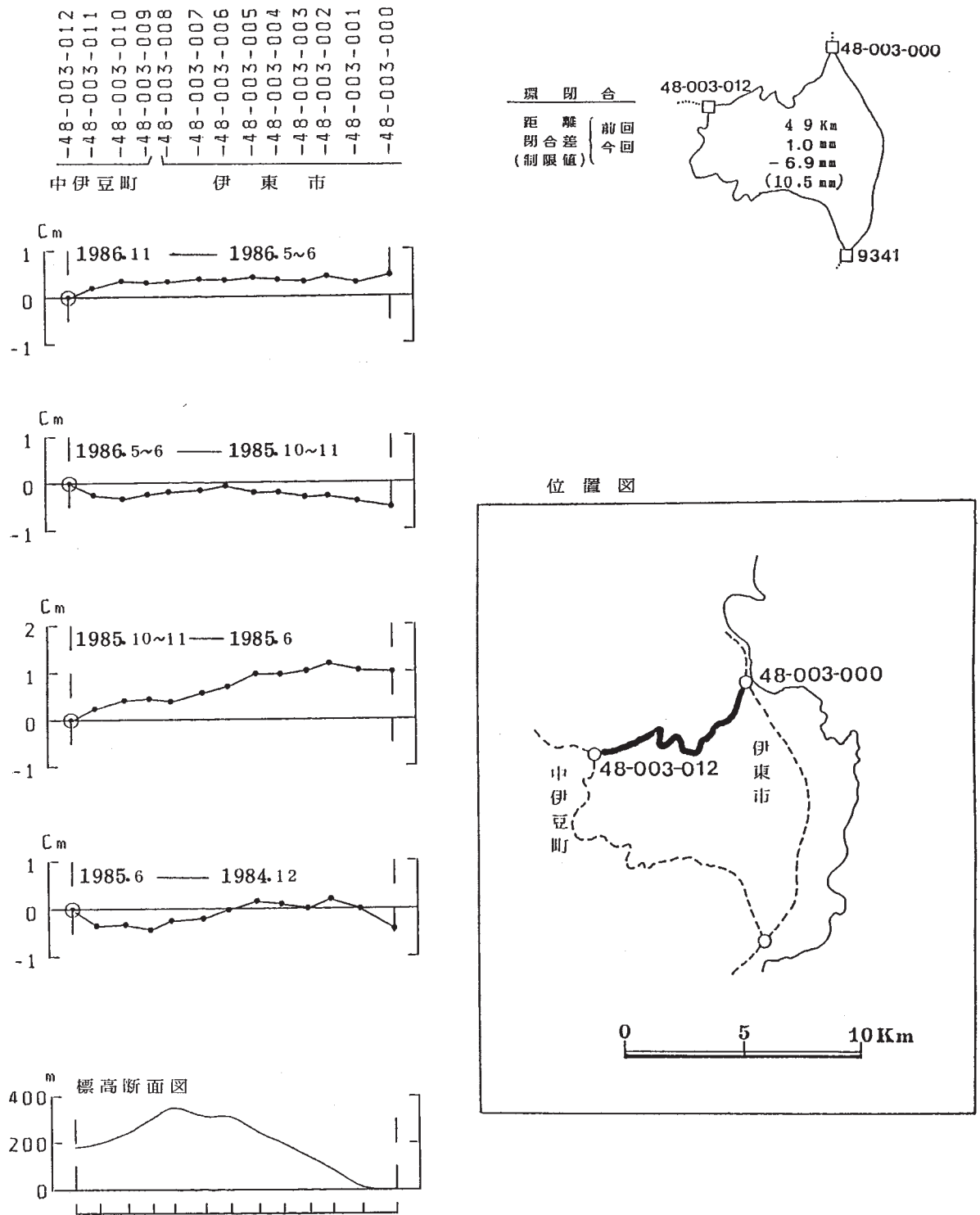
第3図 熱海～伊東～河津間の上下変動

Fig. 3 Level changes along the route from Atami to Kawazu via Ito.

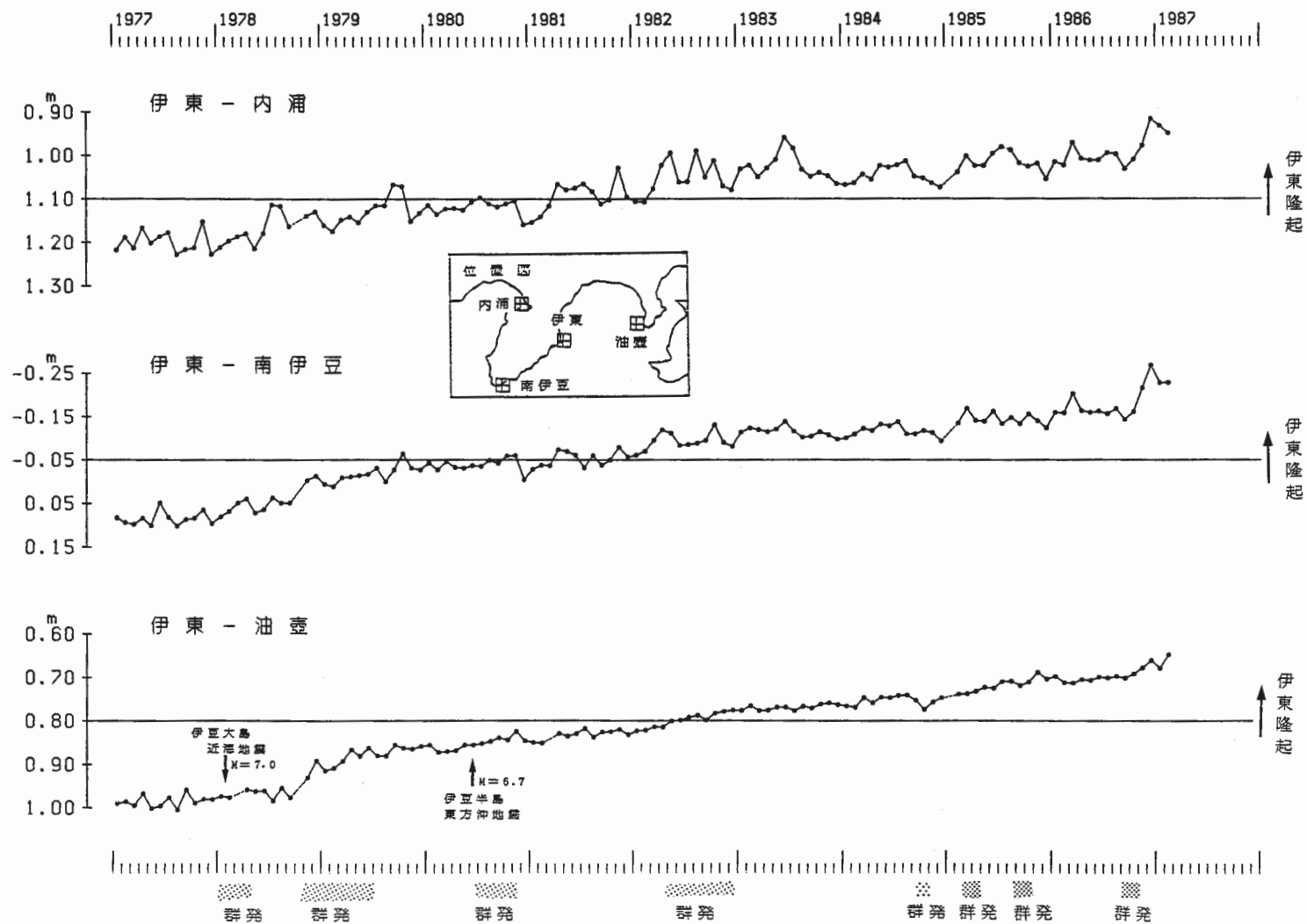


第4図 内浦～中伊豆～伊東換潮場間の上下変動

Fig. 4 Level changes along the route from Uchiura to Ito tide station via Naka-Izu.



第 5 図 中伊豆～伊東間の上下変動
 Fig. 5 Level changes along the route from Naka-Izu to Ito.



第6図 伊東, 内浦, 南伊豆, 油壺験潮場間の月平均潮位差

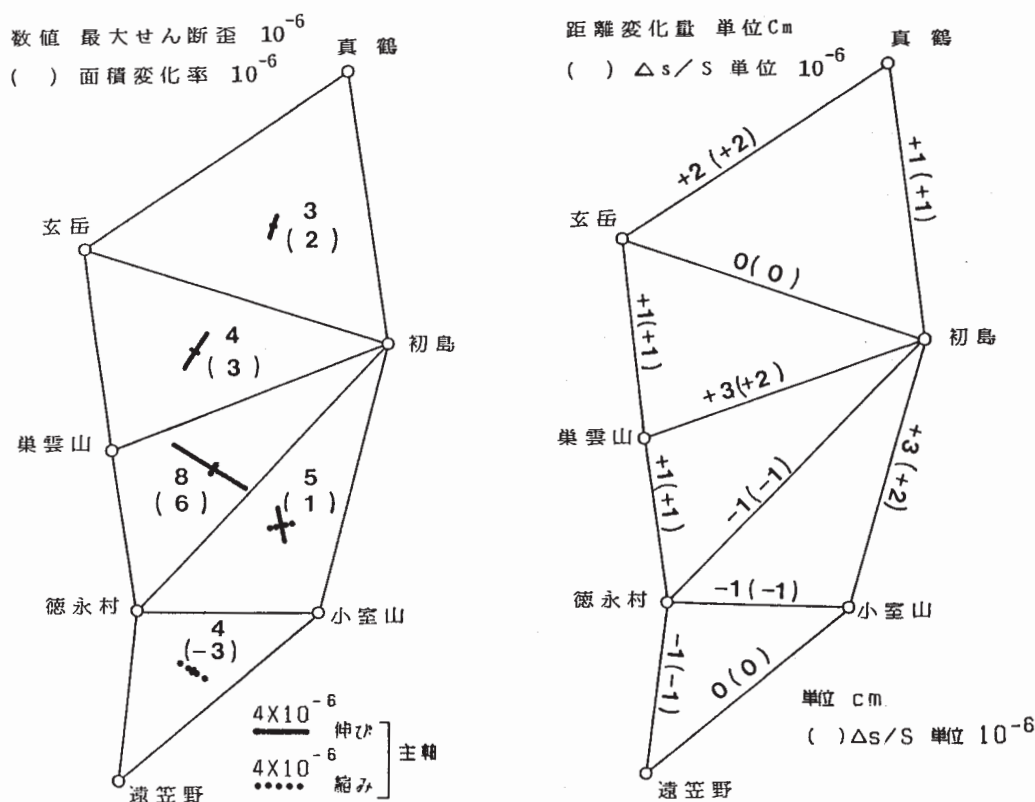
Fig. 6 Differences in monthly mean sea level between tide station pairs from the Ito, Uchiura, Minami-Izu and Aburatsubo tide stations.

測定年 区 間	1973 10-11	'76 4	'76 8-10	'78 11	'79 10	'80 10	'81 10-11	'82 11-12	'83 12	'84 11-12	'85 11-12	'86 11-12
初島～小室山	11 790.00m		.00m	.03m	.09m	.12m	.13m	.15m	.14m	.16m	.17m	.20m
初島～徳永村	15 602.20			.21	.27	.26	.28	.30	.31	.34	.36	.35
初島～巢雲山	12 575.74		.69	.75	.76	.76	.76	.76	.76	.78	.78	.81
初島～玄岳	13 497.11			.13	.12	.13	.13	.15	.11	.14	.13	.12
初島～真鶴	11 135.			.77	.78	.80	.79	.81	.79	.82	.82	.83
玄岳～真鶴	13 692.			.03	.02	.04	.03	.06	.04	.06	.05	.07
玄岳～巢雲山	8 535.89			.88	.87	.88	.87	.88	.85	.88	.88	.89
徳永村～巢雲山	6 960.34	.37	.37	.38	.38	.37	.39	.39	.38	.39	.39	.40
徳永村～小室山	7 795.06	.14	.14	.18	.15	.19	.21	.23	.21	.23	.25	.24
徳永村～遠笠野	7 200.	.00	.03	.07			.15	.18	.17	.18	.19	.18
小室山～遠笠野	11 274.						.39	.44	.43	.46	.46	.46

※ 徳永村～巢雲山間1973年は、G-8との比較測定による定数を使用。
1982, 1983年は、網平均した結果である。

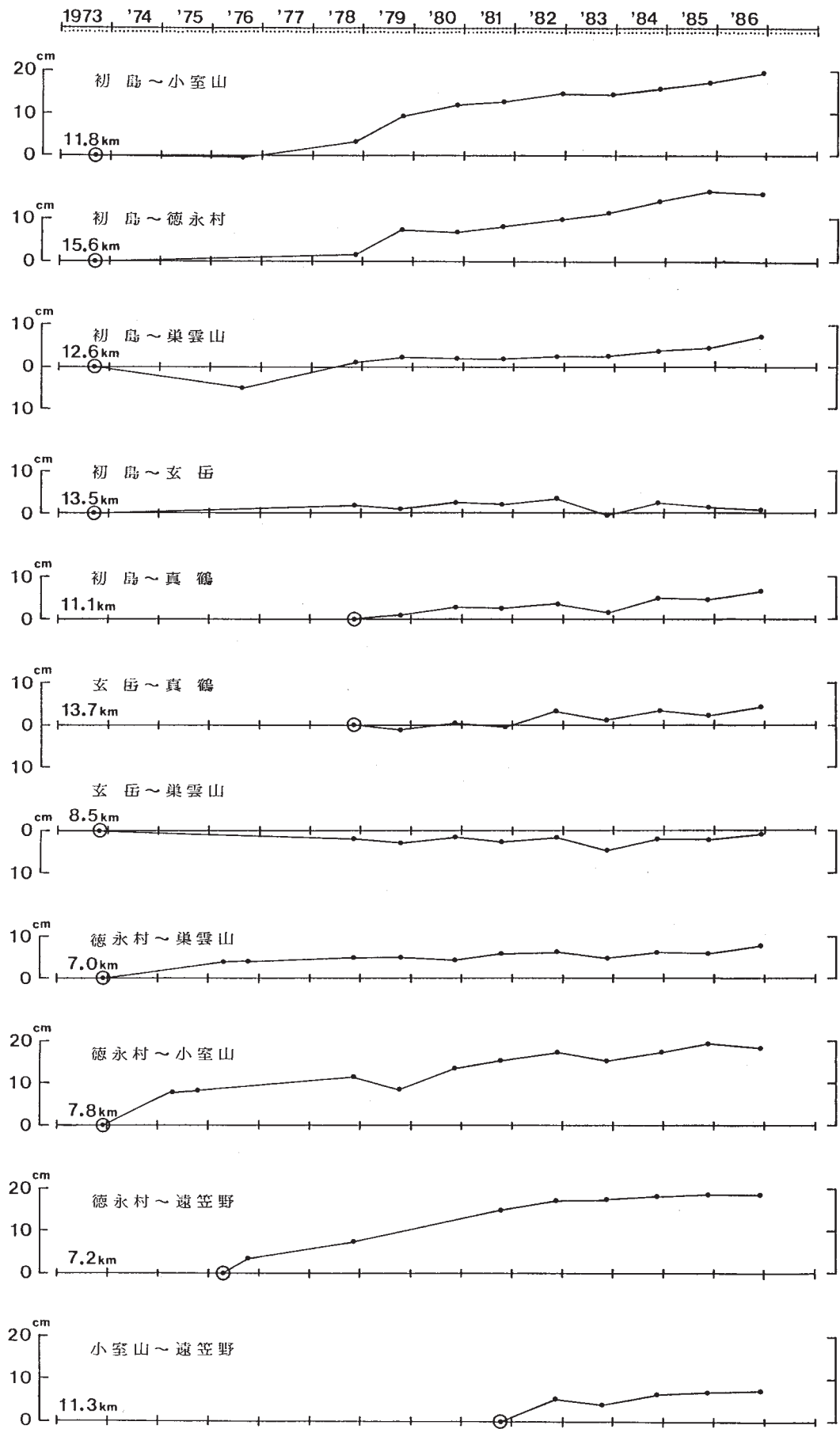
水 平 歪 及 び 距 離 変 化

1986.11~12 ——— 1985.11~12



第7図 伊豆半島東部地方精密変歪測量結果 (1)

Fig. 7 Results of precise distance measurements in the Eastern part of Izu Peninsula (1). Horizontal strain and distance change.



第8図 伊豆半島精密変歪測量結果 (2)

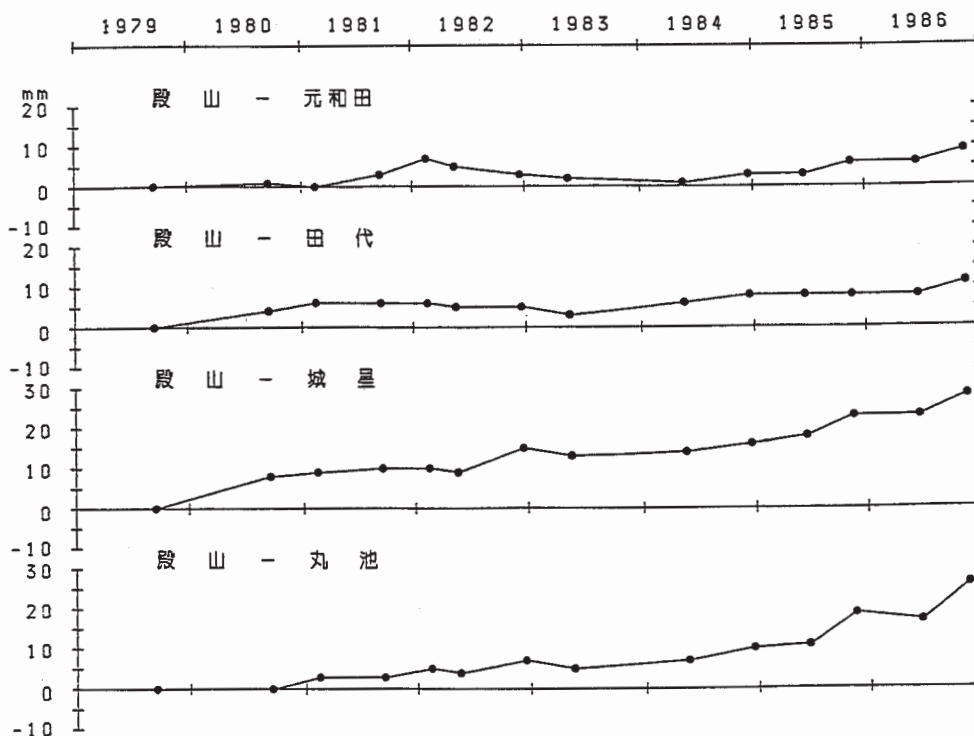
Fig. 8 Results of precise distance measurements in the Eastern part of Izu Peninsula (2). Annual change of side length.

測定年 区 間	1979	80	81	81	82	82	82	83	84	84	85	85	86	86
殿山 - 元和田	1009.478	.479	.478	.481	.485	.483	.481	.480	.479	.481	.481	.484	.484	.487
殿山 - 田代	667.040	.044	.046	.046	.046	.045	.045	.043	.046	.048	.048	.048	.048	.051
殿山 - 城星	1009.702	.710	.711	.712	.712	.711	.717	.715	.716	.718	.720	.725	.725	.729
殿山 - 丸池	939.505	.505	.508	.508	.510	.509	.512	.510	.512	.515	.516	.524	.522	.530

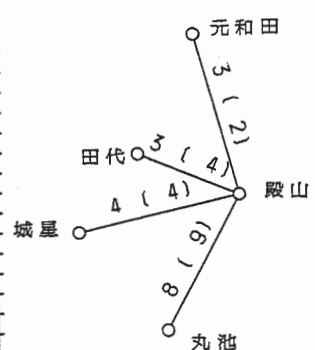
測器：メコメーター ME3000



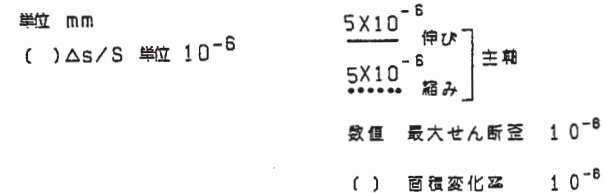
辺長の経年変化



辺長変化
1986.11—1986.6



水平歪

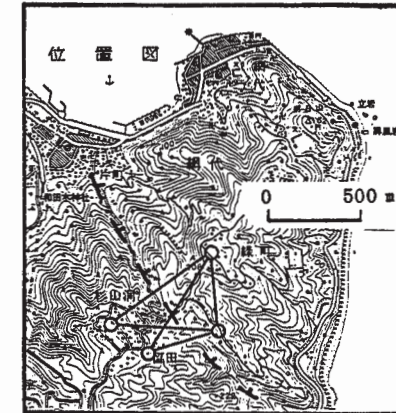


第9図 川奈精密変歪測量結果 1986年11月 - 1986年6月

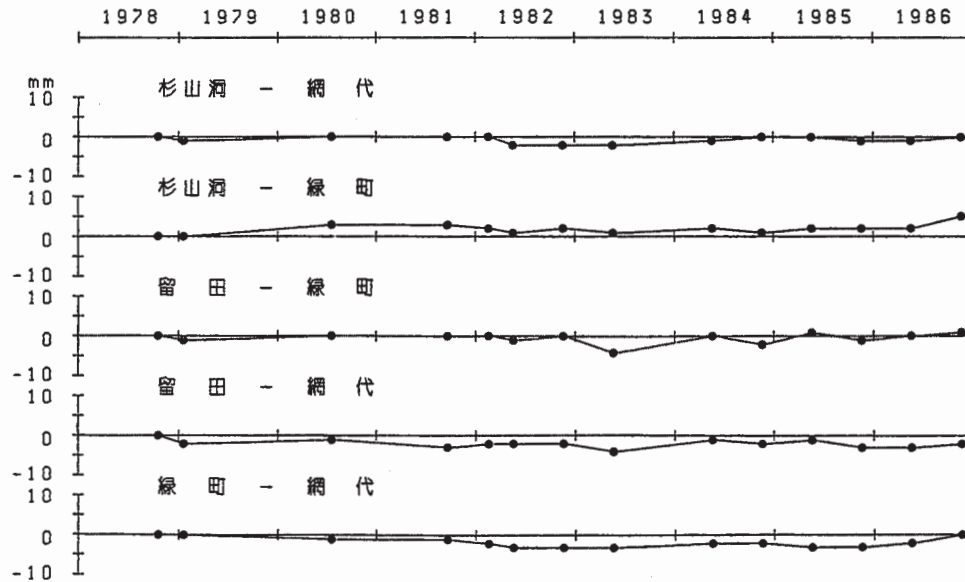
Fig. 9 Results of precise distance measurements at the Kawana radial base lines. Nov. 1986 - Jun. 1986.

測定年 区 間	1978	79	80	81	82	82	82	83	84	84	85	85	86	86
杉山洞 - 網代	600.380	^m .379	^m .380	^m .380	^m .380	^m .378	^m .378	^m .378	^m .379	^m .380	^m .380	^m .379	^m .379	^m .380
杉山洞 - 緑町	558.289	.289	.292	.292	.291	.290	.291	.290	.291	.290	.291	.291	.291	.294
留田 - 緑町	428.601	.600	.601	.601	.601	.600	.601	.597	.601	.599	.602	.600	.601	.602
留田 - 網代	601.783	.781	.782	.780	.781	.781	.781	.779	.782	.781	.782	.780	.780	.781
緑町 - 網代	327.846	.846	.845	.845	.844	.843	.843	.843	.844	.844	.843	.843	.844	.846

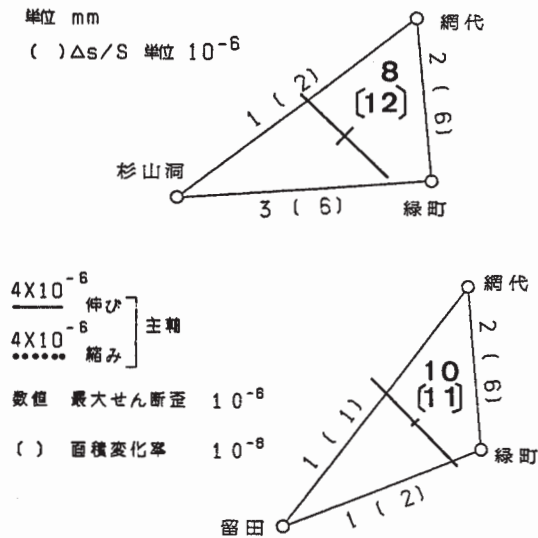
測器：メコメーター ME3000



辺長の経年変化



辺長変化・水平歪
1986.11 — 1986.5



第10図 網代精密変歪測量結果 1986年11月 - 1986年5月

Fig. 10 Results of precise distance measurements at the Ajiro radial base lines. Nov. 1986 - May 1986.